

Cs-Sn

(X-322)

Cs₂SnCl₆ (η_p)

1957

Browne C. J., Craig R. P., Davidson N.

J. Am. Chem. Soc., 1951, 73, 1946-51

Spectrophotometric and radiochemical investigation of the interaction between tin (II) and - (IV) in hydrochloric acid solutions

CCB Q-K. 3

Ingr. ✓

C.A. 1951, 2417 e

1958

1652 a -~~F~~

RbCl·MnCl₂, RbCl·SnCl₂, CsCl·MnCl₂,

RbCl·2SnCl₂, 2CsCl·MnCl₂, CsCl·SnCl₂,
3CsCl·MnCl₂ (Tm)

Марков Б.Ф., Чернов Р.В.
Укр.хим.ж., 1958, 24, № 2, I39-I42,
I43-I45

Фазовые диаграммы ...
РХ., 1958, N 21, 70048 Be F

если Ф.К CsSnCl₃

X-6595

1962

W75

GaF₂, BaF₂, CdCl₂, CdBr₂, (in)

Materics Rept.

Inorg. Chem., 1962, 1, N 2, 342-345

Chemistry of the ...

Be

NOTE A.R.

$\text{SnCl}_2 \cdot \text{CsCl}$ chih Fa Li
U.C. Mopasob' 1963

MEX.
8, '408

(Cu. Rb-Sn) I

X-5970

1963

~~S'alle, lce, S'ncle, Rbcle, S'ncle, Calce,
2 S'nd, Rbcle, 3 S'ncle, na (sh)~~

Lu Ma-qua, Mahozot v. e.

N. neophyan. vivipar.

1963
708 - 711

H.
CA, 1963, 59, v3, 2215

1963

1963

K_2SnCl_6 , Rb_2SnCl_6 , Cs_2SnCl_6

$(NH_4)_2SnCl_6$: (Не, Сс, Рс, Н)

Морозов И.С., ЧК-Фа-Ли

Ж.Неорган.Хим., 1963, 8, 651-4

Термическая стабильность ...

И, Ве

F



CA, 1963, 55, N 3, 2386a

K₂Sn, RbSn, CsSn, K₂Pb, RbPb, CsPb
(кристал. струк - па) X-5316

Hewaide I. E., Busmann E.,
Klemm W.

Z. Anorg. und Abg. Chem.

Chem., 1964, 328, № 5-6, 283-293.
H. H.

PX, 1965, 1152339 III

i) (K_2FeBr_6) ; $(NH_4)_2TeBr_6$; $X\text{4446}$
 $(NH_4)_2FeCl_6$; K_2SnCl_6 ; K_2SnBr_6 ; 1966
 $(NH_4)_2SnBr_6$; Cs_2SnCl_6 ; $(NH_4)_2TeBr_6$,
 $(NH_4)_2TeCl_6$; K_2TeBr_6 ; K_2TeCl_6)

Greenwood N.N., Stoughton B.P.

J. Chem. Soc., 1966, Pt, N7,

962-64

px 1967

10

$\text{Sn}(\text{CH}_2\text{ClCOO})_2$; $\text{Sn}(\text{CH}_2\text{FCOO})_2$ X-6009 ~~1968~~

$\text{Sn}(\text{CH}_2\text{Cl}_2\text{COO})_2$; $\text{Sn}(\text{CHF}_2\text{COO})_2$ $\text{KSn}(\text{CH}_2\text{ClCOO})_3$ 1968

$\text{RbSn}(\text{CH}_2\text{ClCOO})_3$; $\text{CsSn}(\text{CH}_2\text{ClCOO})_3$; $\text{NH}_4\text{Sn}(\text{CH}_2\text{ClCOO})_3$

$\text{Ca}[\text{Sn}(\text{CH}_2\text{ClCOO})_3]_2$; $\text{Sr}[\text{Sn}(\text{CH}_2\text{ClCOO})_3]_2$; $\text{Ba}[\text{Sn}(\text{CH}_2\text{ClCOO})_3]_2$

$\text{KSn}(\text{CH}_2\text{FCOO})_3$; $\text{NH}_4\text{Sn}(\text{CH}_2\text{FCOO})_3$ (T_m)

Donaldson J.D., Jeften R.

J. Chem. Soc., 1968, A, No. 2244-2248 (ann.)

The $\text{Sn}(\text{II})$ halogen-substituted acetates.

PII Xun, 1969

9B62

O

(Y)

by (P)

ВХ-4239

1969

CsSnBr₃

19 Б723. Определение давления и состава пара в системе SnBr₂-CsBr. Карпенко Н. В. «Вестн. Ленингр. ун-та», 1969, № 4, 114-120 (рез. англ.)

Измерено давление насыщ. пара и определен брутто-состав его над расплавами смесей SnBr₂ и CsBr с содержанием 25,40, 50,60 и 75 мол.% SnBr₂, на основании чего с привлечением ряда лит. данных сделан вывод о взаимодействии парообразных SnBr₂ и CsBr с образованием комплексного соединения предположительного состава CsSnBr₃. На основании результатов вычислений давлений компонентов насыщ. пара расплавами смесей SnBr₂-CsBr с содержанием 25, 40, 50, 60 и 75 мол.% SnBr₂ оценены теплоты и энтропии процессов разложения парообразного CsSnBr₃ на мономерные и димерные формы образующих это соединение простых солей.

Резюме

X. 1969.

19

K_{Sn}J₂, R₂Sn₃J₃, R₂Sn₉J₅, 1969
Cs₂Sn₃(Tm) 10 34366

Севастополь Т.Н., Карпенко Н.В.

Ж. неорг. хим., 1969, 19, 111, 3130-3133

Невигородское и рентгенографическое
изучение систем (SnJ₂-M₂J) (M = K,
(Rb, Cs))

8

РН Изв., 1970

85/175

Q

5 90

KBr - SnBr₂ (разовые)
RbBr - SnBr₂ (дисперсионные)
CsBr - SnBr₂

10

1970

Х 4801

Бекеев И. Н., Чуринов Е. А.

Ж. неорг. хим., 1970, 15, № 3, 883-5 (ру)

Разовые дисперсионные системы браш-
нитов (нейтрон, каше, рубидий,
цезий) — бронзов основа (II).

Б 8

100

СА, 1970, № 3, № 6, 29465

X Me Sn YO_6 , Me = NH_4 , K, Rb, Cs
IV a, b, c.

1970

X 4618

Frydrych R.

Chem. Ber., 1970, 103, 327 - 330

Darstellung und Eigenschaften der
Alkali-Zinn (VI) hexaoxojodate (VII),
 MSnYO_6

X 4618. 8

PX. 1970, 13847.

EOTB φ. N.



Me.

$\text{SnCl}_2\text{-RbCl}$ (p) 10 1970
 $\text{SnCl}_2\text{-CsCl}$ 10 1970

$\text{RbSnCl}_3, \text{CsSnCl}_3$ (Термоэл. ; Р) 10
Карпенко Н. В.,

Ж. неор. хим., 1970, 15, № 5, 1378-82
Crys.

Определение габаритов ячеек
и соотношений структур
 $\text{SnCl}_2\text{-(Rb, Cs)}$ Cl.

5.11 (8) 1970, № 10, 189760

RbSnT₃, CsSnT₃(DH, SS) № 4933 1970
Севастопольская ТГИ. Н., Карпенко Н.В.
Вестн. Ленинград. Унив., физ. хим.
1970, № 2, 85 - 91 (русск.) Ч

Определение завески паров
и состава смесей иодид
олова - иодид рубидия и иодид
олова - иодид цезия.

М, Б ⑨

СА/1970, 73, № 2, 1135834

CsSnCl₃; CsSnCl₆

1972

Д 6 Б846. Исследование хлоридов олова — цезия
CsSnCl₃ и Cs₂SnCl₆. Булянова Г. Г., Подлес-
ская А. В., Соболева Л. В., Соклаков А. И.
«Изв. АН СССР. Неорган. материалы», 1972, 8, № 11,
1930—1932

Синтезированы CsSnCl₃ и Cs₂SnCl₆. Дифференциаль-
ные кривые нагревания CsSnCl₃ показали наличие поли-
морфного превращения при 110°, плавления при 375° и
диссоциации CsSnCl₃ на CsCl и SnCl₂ при 600°.
Рентгенографич. исследование CsSnCl₃ показало наличие
двух фаз: высокот-рной формы CsSnCl₃, имеющей куб.
ячейку с периодом $a=5,504 \text{ \AA}$ и относящейся к перовски-
товой структуре и низкот-рной модификации, образую-
щейся при деформации перовскитовой структуры с пони-
жением симметрии до триклинистой.

Автореферат

(T_{tr}; T_m)

X. 1973. №

1972

 CsSnCl_3

63314m Cesium tin chlorides CsSnCl_3 and Cs_2SnCl_6 . Bulanova, G. G.; Podlesskaya, A. V.; Soboleva, L. V.; Soklakov, A. I. (Inst. Kristallogr., Moscow, USSR). *Izv. Akad. Nauk SSSR, Neorg. Mater.* 1972, 8(11), 1930-2 (Russ). The prepn. of CsSnCl_3 and Cs_2SnCl_6 as well as their thermal properties were studied, so as to come up with the growth conditions for single crystals of these compds. DTA curves for CsSnCl_3 showed the presence of a phase transition at 110° , m.p. at 375° , and dissociation to CsCl and SnCl_2 at 600° . X-ray diffraction of CsSnCl_3 showed the presence of 2 phases. The high-temp. modification of CsSnCl_3 was cubic with $a = 5.504 \text{ \AA}$ and related to the perovskite structure. A low-temp. modification formed during the deformation of the perovskite structure, the symmetry thereby decreased to triclinic. The exothermal effect obsd. at 190° probably corresponds to the formation of the incongruently melting compd. $\text{CsCl} \cdot 2\text{SnCl}_2$, and the exothermal effect at 217° to its decomprn. The exothermal effect at 340° may be explained by the formation of the congruently melting compd. CsSnCl_3 , and the effect at 370° , to its fusion. The endothermal effect at 580° corresponds to the dissociation of CsSnCl_3 to CsCl and SnCl_2 , and that at 630° to the fusion of CsCl . The nature of thermal decomprn. of Cs_2SnCl_6 confirmed the previously obtained data and it has a K_2PtCl_6 -type structure. The endothermal effect obsd. at 110° in CsSnCl_3 corresponds to a polymorphic transformation.

S. A. Mersol

T_m, T_{tr}C.A. 1973
78 N10

CsSnI₃

CsPbI₃

1972

20757r Thermal analysis of Al-BI₂ binary system. Belyaev, N.; Shurginov, E. A.; Kudryashov, N. S. (USSR). *Zh. Neorg. Khim.* 1972, 17(10), 2812-15 (Russ). Phase diagrams of a series of Al-BI₂ binary systems (KI-CdI₂; RbI-CdI₂; CsI-CdI₂; RbI-HgI₂; CsI-HgI₂; KI-SnI₂; RbI-SnI₂; CsI-SnI₂; KI-PbI₂; RbI-PbI₂; and CsI-PbI₂) were detd. by a thermog. method. The formation of the following compds. (Al:BI₂) was obsd.: KI-CdI₂, 4:1; RbI-CdI₂ and CsI-CdI₂, 2:1; RbI-HgI₂, 4:1 and 3:2; CsI-HgI₂, 2:1 and 1:2; KI-SnI₂, a simple eutectic; RbI-SnI₂, 3:2; CsI-SnI₂, 1:1; KI-PbI₂, 2:1 and 1:1; RbI-PbI₂, 9:1 and 1:1; and CsI-PbI₂, 4:1 and 1:1. A phase transition occurred in CsSnI₃ and CsPbI₃, at 172 and 327°, resp.

Frantisek Smutny

C.A. 1973. 78, N1



(+)

(x)

C5Sn

1973

(yagobre
guarpari.)

Gukovsk Yu. Ya. et al.

Obrashch. Zakonomern. Sist.

Diagramm. Sist. Met. Sist.

1973, 135-9.



(See R6-Sn) I

Cs | Sn | X_3 . $X = Cl, Br, I.$ 1974
_____|_____|_____

[Bsp - 8434-X]

Влияние природы ионного
(T_m) системах и заменяющих на устойчи-
вость комплексных соединений
в системах $SnX_2 - MX$

Карпенко Н. В. Севастополь Т.Н.
Проблемы сопр. химии координац.
"соглас." Вестн. 4. к., ленингр.

х. 1974. N16 ян-м, 1974, 177-204.
, аи $Na_2SnX_3 \cdot T$

CsCl₃ | Sn, Cs Sn Br₃

КНИГА У МЕДВЕДЕВА

Новиков И.И. Орехова С.Е.

Химия и химическая технология
Вып. 7, стр. 12-32. Издат. Выс. школа.
1974г, Минск.

Некоторые вопросы химии и парообразн. и компл. соединений.

C_8SnT_3

1974

ИЗДАТ. И ПЕЧАТЬ БИБЛ.
ПОВСЕКОВ
СРОКОВОЕ 4.0.0.
ЛІМКІ П. ХІД. ТОЖНОСТІ ВІДЛ.?,
СТР. 12-32, МОСТ. "ІС.ІМКО" 1974 г.
Мінск.
Певаторые видосы хідкі нарохбрози,
п. волын. соційскій.

M'₂(MCl₆) M=Sn, Pb 10 1974

M'=K, NH₄, Rb, Cs.

M'₂[TeX₆] X=Cl, Br X 8526

(авт. ном., среднекв. ампл. колеб.)

Srivastava B.B., Dublish A.K.,
Pandey A.N.,

Z. Naturforsch., J 1974, 29 (4),

602-4.

Force constant and mean amplitudes
(см. на обороте)

C.A. 1974. 81 N6. 31296c 10  10

Бахкы, БахРбы, БахСзы, InxKy,

InxRby, InxCsy, PdxRby, PdxCsy,

InxRby, InxCsy, (SHt, SHn, s In) БХ-80

Дубенко С.П., Шукенов К.А., Бушманов В.Д.

Тезис докл.- Всес. конф. кристаллогр. шпекр
мет. соедин., 2-е. 1974, 15.

Свойства шпекрепон. соедин., образ. методом
лами групп IA с  гематит. групп
III A и II A.

C.A 1976, 85, N24, 1861439

An 

10

Cs_2SnF_6

1976

12 Б467. Структурное исследование Cs_2SnF_6 . Du-
rand J., Galigne J. L., Lari-Lavassan A.
Etude structurale de Cs_2SnF_6 . «J. Solid State Chem.»,
1976, 16, № 1—2, 157—160 (франц.; рез. англ.)

Структ.
исследов

Рентгенографически изучены (дифрактометр, λ Mo,
453 отражения, МНК, анизоторпное приближение,
 $R=0,045$) кристаллы Cs_2SnF_6 , выращенные из воды.
р-ра. Параметры тригон. решетки: a 6,322, c 5,032 Å,
 ρ (изм.) 4,73, ρ (выч.) 4,75, $Z=1$, ф. гр; $\bar{P}3m1$. Атомы
Sn находятся в искаженном октаэдрич. окружении из
атомов F (Sn—F 1,52 Å). Октаэдры SnF_6^{2-} изолирова-
ны и соединяются посредством атомов Cs, находящих-
ся в 12-кратном окружении из атомов F. Соединение
многогранников вокруг атомов Sn и Cs происходит по
граням, не перпендикулярным оси c . С: В. Соболева

1976 N 12

CsSn_x

1979

2 Е603. Диаграмма состояния Cs-Sn. Дриц М. Е.,
Фридман А. С., Зусман Л. Л., Кусиков В. А.
«Изв. АН СССР. Мет.», 1979, № 6, 204—206

(T_m)

Методом дифференциального термич. анализа построена диаграмма состояния Cs-Sn. При взаимодействии Cs с Sn образуются по перитектич. реакциям четыре соединения состава: Cs₂Sn, CsSn, CsSn₂ и CsSn₄ при т-рах соответственно 565, 630, 875 и 580°С. В системе Cs-Sn имеется соединение состава Cs₂Sn₃, плавящееся конгруэнтно при 930°С. В системе, вероятно, происходит расслаивание сплавов при т-ре монотектики 605°С и конц-ии Sn от 7,5 до 39 ат.%. Резюме

1979

Cs_2Sn_3

$Cs - Sn$

92: 65441p Cesium-tin phase diagram. Drits, M. E.; Fridman, A. S.; Zusman, L. L.; Kusikov, V. A. (Moscow, USSR). *Izv. Akad. Nauk SSSR, Met.* 1979, (6), 204-6 (Russ). Thermal and x-ray phase anal. data were used to construct the phase diagram. Degenerate eutectics are formed by Cs (28°) and Sn (232°). A monotectic (2-liq. phase) region occurs at 605° and 7.5-39 at. % Sn. The binary compds. Cs_2Sn_3 (congruently m. 930°), Cs_2Sn , $CsSn$, $CsSn_2$, and $CsSn_4$ (incongruently m. 565 , 630 , 875 , 580° resp.) are formed.

(Tm)

C.A.1980.52.N8

CsSn

1949

21 Б811. Спектрофотометрическое измерение давления пара металлов. Применение к соединению CsSn. Strobel Pierge, Hattereg André. Mesure spectrophotométrique de pression de vapeur métallique. Application au composé CsSn. «J. chim. phys. et phys.-chim. biol.», 1979, 76, № 4, 375—380 (франц.; рез. англ.)

В интервале т-р 520—700 К определено равновесное давл. пара Cs над соединением CsSn методом атомной адсорбц. спектрофотометрии. Конструкция прибора описана. Полученные данные представлены ур-нием $\ln P$ (мм) = $(40,7 \pm 6,2) - (30\,000 \pm 250) T^{-1}$. Показано также, что присутствие Sr не влияет на величину P в изученном т-рном интервале. По полученным и справочным данным найдены станд. величины ΔH° и ΔS° (обр., тв. CsSn), составившие $-41,5 \pm 1,5$ ккал/моль и -22 ± 30 э. е. Обсуждены особенности предложенного метода определения P .

Ж. Г. Василенко

X. 1949, № 21

1979

CsSn (s)

(44f)

91: 96741v Spectrophotometric measurement of metal vapor pressure. Application to cesium-tin compounds. Strobel, Pierre; Hatterer, Andre (Lab. Chim. Miner. Appl., Ec. Natl. Super. Chim. Mulhouse, 68093 Mulhouse, Fr.). *J. Chim. Phys. Phys.-Chim. Biol.* 1979, 76(4), 375-80 (Fr). The reaction Cs + Sn, performed under various conditions yields CsSn, which is the only stable phase in the Cs-Sn system. The equil. pressure of Cs above CsSn was measured by at. absorption spectrophotometry at 500-700 K. The app. with an absorption cell is described. Equil. Cs pressure above CsSn, $\ln(P/\text{torr}) = (40.7 \pm 6.2) - (30,300 \pm 250)T^{-1}$; the heat of formation ΔH_f° (CsSn, s) = -(41.5 ± 1.5) kcal/mol; there is no notable interaction between CsSn and Sr.

P.A. 1979, 21, N12

Cs_2Sn_3

1980

96: 25073w Study of vapor pressure and composition over a cesium-tin (Cs_2Sn_3) compound. Drits, M. E.; Zviadadze, G. N.; Fridman, A. S.; Zusman, L. L.; Kazenas, E. K.; Petrov, A. A. (Inst. Metall. im. Baikova, Moscow, USSR). Deposited Doc. 1980, VINITI 5094-80, 7 pp. (Russ). Avail. VINITI. Knudsen effusion-mass spectrometry was used to det. Cs_2Sn_3 (Cs atom) vapor pressure at 547-637 K. The heat of sublimation is 31.7 kcal/g-atom and the heat of formation is -27 kcal/mol.

$P, \Delta_f H,$

c. A. 1982, 96, w 4

CsSnJ₃

1980

16 Б427. Структура триод станината(2+) цезия.
Mauersberger Petra, Huber Friedo. Structure
of caesium triiodostannate(II). «Acta crystallogr.»,
1980, B36, № 3, 683—684 (англ.)

*парацерий
рецептка*

Синтезированы (взаимодействием SnJ_2 и CsJ в 2,5 мол. р-ре HCl) и рентгенографически изучены (методы прецессии, Вейсенберга и дифрактометра, λMo , МНК, анизотропное приближение, $R=0,051$ для 570 отражений) кристаллы $\text{Cs}[\text{SnJ}_3]$ (I). Параметры ромбич. решетки: $a = 10,328$, $b = 17,677$, $c = 4,765 \text{ \AA}$, $\rho(\text{изм.}) = 4,80$, $\rho(\text{выч.}) = 4,83$, $Z = 4$, ф. гр. $Pnam$. I изоструктурно соединяется с $\text{Cs}[\text{PbJ}_3]$ и $\text{R}[\text{PbJ}_3]$. Искаженные октаэдры SnJ_6 ($\text{Sn}-\text{J} = 2,941—3,469 \text{ \AA}$) соединяются ребрами в сдвоенные цепи, проходящие вдоль оси c . Между собой октаэдрич. цепи связаны атомами Cs , находящимися в окружении из девяти атомов J ($\text{Cs}-\text{J} = 3,934, 4,064 \text{ \AA}$).
С. В. Соболева

Х 1980 № 16

1981

19 Б718. Люминесценция и электропроводность CsSnBr_3 и родственных фаз. Clark S. J., Flint C. D., Donaldson J. D. Luminescence and electrical conductivity of CsSnBr_3 and related phases. «J. Phys. and Chem. Solids», 1981, 42, № 3, 133—135 (англ.)

Исследованы параметры интенсивной красной люминесценции (Л) образцов CsSnBr_3 (I) и $\text{CsSnBr}_{3-x}\text{Cl}_x$ ($x=0—3$) (II), синтезированных путем охлаждения расплава, содержащего CsX и SnX_2 ($X=\text{Cl}, \text{Br}$) в требуемых соотношениях. I и II возбуждали линиями 457 и 480 нм Ag^+ -лазера или электронным лучком. Вторая полоса Л обнаружена в ближней ИК-области. Т-рная ($80—330$ К) зависимость электропроводности изучена на прессованных таблетках I и II. Характер Л и электропроводности соответствует кубич. модификации I и II. I проявляет себя как полупроводник с шириной запрещенной зоны 0,34 эВ при т-рах вплоть до 303 К, при к-рых происходит фазовый переход. При замещении Br на Cl в II полоса Л и край поглощения сдвигаются в область высоких энергий, а электропроводность уменьшается в 10^5 раз. Анализируется возможная структура энергетич. зон I. Н. Н. Морозов

Fz

Х 1981 N 19

Cs_2Sn_3

1981

Tm

196: 224051n Phase diagram of tin with potassium, rubidium, and cesium. Drits, M. E.; Fridman, A. S.; Zusman, L. L.; Kusikov, V. A. (USSR). *Fazovye Ravnovesiya Met. Splavakh* 1981, 176-8 (Russ). Edited by Drits, M. E. Izd. Nauka: Moscow, USSR. The phase diagrams were constructed from DTA data. The peritectic compds. Cs_2Sn , $CsSn$, $CsSn_2$, $CsSn_4$, $RbSn$, $RbSn_2$, $RbSn_4$, K_2Sn , KSn , KSn_2 , and KSn_4 are formed. The compds. M_2Sn_3 congruently m. 930 (Cs), 890 (Rb), and 860° (K). Monotectic (2-liq. phase) regions occur in the Cs and Rb systems in the alkali metal-rich regions.



C. A. 1982, 96, N 26.

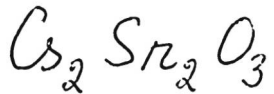
Cs₃Sn₂] Фридман А.С. [1981]

Автореф. канд. дисс., М., 1981, МГУ
Химия.

"Физ.-хим. иссл. и применение
составов изв. металлов с
Sn и Pb."

$$\Delta H_f(298K) = -25,3 \text{ ккал/моль}$$

● Автореф. г.
Г.А.Берзинская



1982

Braun R. et al.

Krebsmauer. Z. anorg. und allg.

anorgan. Chem., 1982, 485, N2,

15-22.

(ces. $K_2 Sr_2 O_3$; -)

1983

CsSnBr_3

CsSn_2Br_5 и др.

Tm;

17 Б1000. Свойства твердых фаз материалов типа Cs_4MX_6 (где $\text{M}=\text{Sn}$ или Pb и $\text{X}=\text{Cl}$ или Br). Solid-state properties of materials of the type Cs_4MX_6 (where $\text{M}=\text{Sn}$ or Pb and $\text{X}=\text{Cl}$ or Br). Andrews R. H., Clark S. J., Donaldson J. D., Dewan J. C., Silver J. «J. Chem. Soc. Dalton Trans.», 1983, 4, 767—770 (англ.)

Методом ДТА в диапазоне т-р 25—650° С во всем интервале конц-ий исследована фазовая диаграмма системы $\text{CsBr} - \text{SnBr}_2$. Обнаружено 3 фазы: конгруэнтно плавящаяся при 448° С и отвечающая соединению CsSnBr_3 и 2 неконгруэнтно плавящиеся фазы, соответствующие CsSn_2Br_5 и Cs_4SnBr_6 . Также исследована серия тв. р-ров $\text{Cs}_4\text{SnBr}_{6-x}\text{Cl}_x$ ($x=0—6$). Наблюдалось изменение окраски от черной (в Cs_4SnBr_6) через темно-кр. (в $\text{Cs}_4\text{SnBr}_4\text{Cl}_2$) до светло-зел. (в Cs_4SnCl_6), что сопровождалось и сдвигом границы полосы оптич.

X. 1983, 19, N 17

поглощения от 1,79 до 2,70 эВ. Для этих соединений, а также серии тв. р-ров $Cs_4Sn_{0,5}Pb_{0,5}Br_{6-x}Cl_x$ ($x=0--6$) и $Cs_4Sn_{1-n}Pb_nBr_6$ ($n=0-1$) (полученных медленным охлаждением расплавов) проведены хим. анализ, рентгенографич. и мессбауэровские исследования, определены показатель оптич. преломления и электросопротивление. Представлена модель, объясняющая наблюдаемые изменения электропроводности и оптич. свойств.

В. А. Ступников.

$Cs_2SnF_6 \cdot 4CH_3COOH$

1984.

№ 15 Б3099 Деп. Изучение поведения гексафторстанната цезия в растворах уксусной кислоты методом изотермической растворимости. Гудимович Т. Ф., Опаловский А. А., Ишкова Л. Д., Паламарчук З. Н.; Одес. ун-т. Одесса, 1984. 7 с., ил. Библиогр. 4 назв. (Рукопись деп. в УкрНИИНТИ 28 февр. 1984 г., № 352Ук—Д84)

Методом изотермич. р-римости с установлением состава тв. фаз по Скрайнемакерсу изучена система $CH_3COOH - Cs_2SnF_6 - H_2O$ при $25^\circ C$. Установлено, что в кач-ве тв. фаз образуется сольват состава $Cs_2SnF_6 \cdot 4CH_3COOH$ (I) и безводн. гексафторстаннат цезия. Подтверждение состава выделенных в системах тв. фаз проводилось методом хим. анализа. Термографически установлено, что I разлагается при $120^\circ C$. Конечным продуктом разл. является безводный Cs_2SnF_6 .

Автореферат

X. 1984, 19, N 15

Cs₂Sn₃

1984

11 Б2162. Синтез и кристаллическая структура соединения Cs_2Sn_3 . Дриц М. Е., Зусман Л. Л., Новиков И. И., Сизов Р. А., Фридман А. С. «Изв. АН СССР. Неорган. материалы», 1984, 20, № 7, 1152—1154

Сконструирован и изготовлен спец. контейнер из сапфира для синтеза и нейтронографич. исследования Cs_2Sn_3 . Показано, что кристаллы Cs_2Sn_3 тетрагон., $a = 7,60$, $c = 13,68 \text{ \AA}$, ф. гр. $P4/mcc$ или $P4cc$. И. Л. Ф.

*Кристалл
структур*

X. 1985, 19, N 11

$\text{CsSnBr}_3(\text{P})$ (DM. 21936)

1985

McPhail A. S., Mocking
et al.

$\text{AsH}_3, \text{As}_2\text{S}_3$ J. Mater Sci, 1985,
20, N 2, 449-456.

CsSnBr₃

1986

(P_{tr})

105: 15648c An x-ray study of successive phase transitions in cesium tribromostannate(II). Mori, Masahiro; Saito, Haruo (Coll. Gen. Educ., Osaka Univ., Toyonaka, Japan 560). *J. Phys. C: Solid State Phys.* 1986, 19(14), 2391-401 (Eng). The mechanism of the phase transitions in CsSnBr₃ was studied by x-ray scattering. The perovskite crystal CsSnBr₃ undergoes 3 successive phase transitions at $T = 19^\circ$, 1° and -26° . The crystal symmetry sequentially transforms from cubic \rightarrow tetragonal \rightarrow monoclinic with decreasing temp. These phase transitions are assocd. with the freezing of rotational modes of SnBr₆ octahedra around the 3 principal axes. Just above T_1 , rod-like crit. diffuse scattering was obsd. along the $M \rightarrow R$ zone boundary caused by the rotational mode. The phase transitions at 19° is caused by the condensation of the M_3 phonon mode. The 2nd phase transition at 1° is assocd. with the condensation of the Z_1 mode along the [001] direction of the tetragonal lattice, which is derived fro the R_{25} mode in perovskite crystal. The 3rd phase transition at -26° takes place with the condensation of 1 of the doubly degenerate modes Z_{5x} and Z_{5y} modes.

C.A. 1986, 105, N2

CsSnBr₃

1986

10 E746. Рентгенографическое изучение последовательных фазовых переходов в CsSnBr₃. An x-ray study of successive phase transitions in CsSnBr₃. Mogi M., Saito H. «J. Phys. C: Solid State Phys.», 1986, 19, № 14, 2391—2401 (англ.)

фазы. перек.

На двухкружном дифрактометре на излучении CuK_α исследован механизм фазовых переходов в монокристаллах CsSnBr₃. Охлаждение и нагрев образцов проводился обдувом газообразным азотом. По расщеплению дифракционных рефлексов в зависимости от температуры обнаружено, что кристаллы перовскита CsSnBr₃ претерпевают последовательно фазовые переходы при 19,1 и -26°С с изменением симметрии кубическая→тетрагональная→тетрагональная→моноклинная соответственно.

cf. 1986, 18, N 10

Путем исследования температурной зависимости диффузного рассеяния рентгеновских лучей установлено, что фазовые переходы связаны с вымораживанием вращательных мод колебаний октаэдра SnBr_6 вокруг трех главных осей.

Г. В. Фетисов

CsSnBr₃

1986

22 Б3245. Рентгенографические исследования последовательных фазовых превращений в CsSnBr₃. An x-ray study of successive phase transitions in CsSnBr₃. Mori M., Saito H. «J. Phys. C: Solid State Phys.», 1986, 19, № 14, 2391—2401 (англ.)

Pt2;

Методом РСТА монокрист. и поликрист. образцов в интервале от —100 до 25° С исследованы структурные фазовые переходы в CsSnBr₃. Обнаружено протекание при охлаждении последоват. фазовых превращений $O_h^1 \rightarrow Pm\bar{3}m \rightarrow D_{4h}^5 \rightarrow P4/mbm \rightarrow D_4^2 \rightarrow P42_12 \rightarrow$ монокл. при т-рах, соотв. 19, 1 и —26° С. Указанные превращения связаны с замерзанием вращат. мод жестких октаэдров SnBr₆ вокруг трех главных осей. 1-ое превращение ассоциируется с фононной модой M_3 , 2-ое — с модой $Z_1[001]$ тетрагон. решетки, связанной с модой R_{25} в исходной структуре, 3-е — с замерзанием сдвоенных мод Z_5^x и Z_5^y . Ниже 19° С зафиксировано сильно анизотропное крит. диффузное рассеяние вдоль границы зон M и R , обусловленное влиянием вращат. мод. Превращение при 19° С 1-го рода, а при 1° С — 2-го рода.

В. Е. Смирнов

Х. 1986, 19, № 22

C-Sn

1987

106; 183469j Phase equilibria in cesium-tin alloys. Meleko, L. Z.; Yatsenko, S. P.; Chuntonov, K. A.; Grin, Yu. N. (Sverdlovsk, USSR). Izv. Akad. Nauk SSSR, Met., 1987, (2), 201-3 (Russia). Thermal anal. and magnetic data were used to construct the phase diagram. The immiscible liq. region is defined. A compd. K_8Sn_{46} -type exists in equil. with Sn at room temp.

pajobal
guarapuava

C.A. 1987, 106, N 22

(Om. 26873)

1987

Gz Shly (K)

Zalewicz M.,

Tr;

Thermochim. acta,
1987, 116, 217-224.

C_8SnSb_3

$C_8SnBiSb_2$

$C_8SnBi_2Sb^2$

$C_2Sn_2Sb_2$

1988

Hartmann A.,
Weil K. G.

Angew. Chem. 1988.

100, N 8.C. 1111-1113.

(e.g. Ga_2InSb_3 , \overline{I})

CsSrBr_3 [Om. 31804]

1988

Yanada K., Nose S.,
et al.,

phys.
reptog,
 $T_{\text{c}2}$

Bull. Chem. Soc. Jap.,
1988, 61, N 12, 4265-
4268

Cs/Sb/Sn

1989

Hartmann A.; Weil K. G.

mass-spekt.
исследован
исследован
исследован
исследован

Z. Phys. D: At., Mol. Clusters:
1989. - 12 (1-4). - C. 11-3



T
(Cs, Cs/Sb, ~~X~~)

Cs/Sb/Bi/Sn

1989

Hartmann A.; Weil K.G.

масс-спектр.

исследован.

издание. Z. Phys. D: At., Mol. Clusters-
соединен. 1989. - 12 (1-4). - C. 11-3

(Cs, Sb, Bi, Sn)

Cs₄[SnO₄]

1990

8 Б2048. Оксостаннат нового структурного типа:
 $Cs_4[SnO_4]$. Ein Oxostannat neuen Strukturtyps: $Cs_4[SnO_4]$
Berney K., Hoppe R. // Z. anorg. und allg. Chem.—
1990.— 587, № 8.— С. 145—150.— Нем.; рез. англ.

Методом РСТА (λ Mo, 2299 ненулевых независимых отражений, $R = 0,07$, $R_w = 0,056$) изучено строение бесцветных монокл. $Cs_4[SnO_4]$ (I), полученного в Ni-бомбе из $CsO_{0,67}$, Li_2O и SnO_2 , взятых в ат. отношении $Cs : Li : Sn = 3,3 : 1,0 : 1,0$, при $450^\circ C$ в атмосфере Ar. I имеет $a = 1180,8$, $b = 728,2$, $c = 1166,7$ пм, $\beta = 111,78^\circ$, $Z = 4$, ф. гр. $P2_1/c$. Атомы Sn и Cs_4 из 4 неэквивалентных атомов имеют полиэдр в виде тетраэдра, $Cs-O = 286—295$, $Sn-O = 194—197$ пм. Остальные атомы Cs имеют сильно искаженную октаэдрич. ($Cs-O = 298—362$ пм) или тетрагонально-пирамидальную ($Cs-O = 289—359$ пм) координацию. Структура построена из сдвоенных слоев Cs -полиэдров, связанных через изолированные тетра-

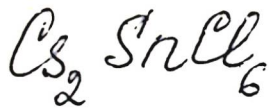
структура

X. 1991, N8

эдры SnO_4 . Слои уложены вдоль [100]. Составляющая
Маделунга энергии крист. решетки I 4178 ккал/моль.
Указано на более эффективный подход для анализа
распределения зарядов в случае богатых катионами
оксидов щел. мет. с т. зр. расчета эффективных КЧ, по
сравнению с известным методом оценки силы связи —
длины связи.

М. Б. Варфоломеев

лера,



1990

Janiak T., Nikel I.,
et al.

metamoxum. J. Therm. Anal. 1990,
36 (6), 2205-10.

(ccc. Li_2SnCl_6 ; I)

Гд № 327

1990

20 Б2286. Получение и кристаллическая структура Cs₂Sn₃Se₇, селеностанината(4+) цезия с пентакоординированным оловом. Darstellung und Kristallstruktur von Cs₂Sn₃Se₇, ein Cäsium-selenostannat(IV) mit fünffach koordiniertem Zinn / Sheldrick W. S., Braunebeck H.-G. // Z. Naturforsch. B.— 1990.— 45, № 12.— С. 1643— 1646.— Нем.; рез. англ.

Нагреванием в ампуле в атмосфере Ar при 160° С / 13 бар суспензии Cs₂CO₃, SnSe₂ и SnSe в MeOH с послед. охлаждением до 110° С получен Cs₂Sn₃Se₇ (I) с примесью Cs₄Sn₂Se₆. Для I методом РСТА (λ Mo, 1636 ненулевых отражений, R и R_w 0,066) изучена крист. структура. Монокл. I имеет a 23,214, b 13,679, c 14,657 Å, β 111,92°, Z 8, ρ (изм.) 3,57, ρ (выч.) 3,60, ф. гр. $C2/c$. В структуре реализуются трёхмерные бипирамиды SnSe₅, связанные через пары мостиков Sn—Se—Sn в группы Sn₃Se₁₀, представляющие собой искаженные кубы с 1 отсутствующей вершиной. Группы Sn₃Se₁₀ через 3 общие ребра связаны в слоистые поли-

номорфии

и

Кирилл Смирнов

Х. 1991, № 20

анионы $[Sn_3Se_7^{2-}]_{\infty 2}$, параллельные (001). Бипирамиды $SnSe_5$ характеризуются контактами $Sn—Se$ 2,493—2,804 Å. Возникающие канальные пустоты, параллельные [001], заполнены атомами Cs, имеющими семерную или восьмерную координацию с $Cs—Se$ 3,721—4,211 Å.

М. Б. Варфоломеев



CsSnCl₃

1991

19 Б3110. Фазовые переходы в CsSnCl₃ и CsPbBr₃. Исследования методами ЯМР и ЯКР. Phase transitions in CsSnCl₃ and CsPbBr₃. An NMR and NQR Study / Sharma S., Weiden N., Weiss A. // Z. Naturforsch. A.— 1991.— 46, № 4.— С. 329—336.— Англ.

Методами РФА, ЯКР ⁸¹Br, ЯМР ¹¹⁹Sn, ¹¹³Cs и ¹H исследовано фазовое поведение кристаллов CsSnCl₃ (I) и CsPbBr₃ (II). Для I обнаружено наличие гидрата при т. комн., к-рый при дегидратации дает монокл. фазу II. Фаза I имеет кубич. перовскитную структуру. Для II описаны все 3 фазы, известные по лит. данным. Результаты обсуждены в свете строения соединений класса ABX₃.

т2

(4) 18

X. 1991, N 19

CsSnI₃

1991

9 Б2025. Структурные фазовые переходы полиморфов CsSnI₃, изученные с помощью рентгенографии по Ритвельду. Structural phase transitions of the polymorphs of CsSnI₃ by means of Rietveld analysis of the X-ray diffraction / Yamada K., Funabiki S., Horimoto H., Matsui T., Okuda T., Ichiba S. // Chem. Lett. — 1991. — № 5. — С. 801—804. — Англ.

Проведено рентгенографич. исследование (λ Cu, метод Ритвельда, МНК до R_F 0,043, 0,075 и 0,118 при т-ре 300, 373 и 446 К соотв.) полиморфов γ , β и α черной модификации соед. CsSnI₃ (I), полученной из расплава. Кристаллы γ -I ромбич., a 8,688, b 8,643, c 12,378 Å, Z 4, ф. гр. $Pn\bar{a}m$. Кристаллы β -I тетрагон., a 8,772, c 6,261 Å, Z 2, ф. гр. $P4/mbm$. Кристаллы α -I кубич., a 6,219 Å, Z 1, ф. гр. $Pm\bar{3}m$. Структура α -I принадлежит к СТ перовскита, расстояние Sn—I в октаэдре 3,110 Å. Взаимный разворот октаэдров SnI₆ на 9,1° вокруг оси c дает структуру β -I, устойчивую ниже 426 К. В структуре γ -I тетраэдры SnI₆ искажены, расстояния Sn—I 3,102—3,122 Å, углы SnISn 158—172,3°. Обсуждены причины металлич. проводимости черной модификации I.

С. С. Мешалкин

T₂, структур

X. 1992, № 9

Сборник

1992

12 Б3122. Рамановское исследование фазового перехода в $CsSnCl_3$. Raman study of the phase transition in $CsSnCl_3$ /Kuo M. H. //J. Raman Spectrosc. .—1992 .—23 № 4 .—С. 225—227 .—Англ.

В диапазоне т-р 10—400 К методом поляризов. спектроскопии КР исследовано фазовое поведение моноокристаллов $CsSnCl_3$, выращенных из р-ра $CsCl$ и $SnCl_2$ в глицерине. При нагреве выше 385 К монокл. фаза с пр. гр. C_{2h}^5 превращается в кубич. перовскитную фазу с изменением цвета образца от белого к желтому. Судя по изменениям спектра, переход 1-го рода. Никакой мягкой моды не наблюдалось. При охлаждении кристаллов в диапазоне т-р 383—10 К никаких признаков фазовых переходов не обнаружено, наблюдалось лишь линейное уменьшение ширины линии $24,1\text{ см}^{-1}$ (с 2,2 при 383 до $1,2\text{ см}^{-1}$ при 10 К). Несколько полос спектра связано с полевым расщеплением компонент фундаментальных колебаний пирамидального иона $SnCl_3^-$.

В. А. Ступников

Х. 1993, № 12

$Cs_2Sr_4Se_8$

1994

Klepp R.O., Fabian F.

15th Eur. Crystallogr.

Кручинин. Meet.(ECM-15), Dresden,

Сестржак. 28 Aug.-2 Sept., 1994. Book

Abstr. Müncher, 1994. C.

626.

(cub. $K_2Sr_4Se_8$; ?)

СЗН №3

1994

ЗБ2202. Люминесценция и структурные превращения кристаллов CsSnCl_3 /Волошиновский А. С., Мягкота С. В., Пидзырайло Н. С., Токаривский М. В. //Ж. прикл. спектроскопии.—1994.—60, № 7—8.—С. 289—291.—Рус. ;рез. англ.

Измерение спектров ЛМ в кристаллах CsSnCl_3 позволило определить их фазовый состав и состояние ПВ. Собственное излучение кристаллов приписывается излучению автолокализованных экситонов.

структурные
превращения

Х. 1995, №3

F: Cs₄SnO₃

1998

P: 1

19B215. Приготовление и кристаллическая структура
Cs[4]SnO[3]. Darstellung und Kristallstruktur von
Cs[4]SnO[3] / Rohr Caroline, Zonnchen Peter // Z. anorg.
und allg. Chem. - 1998. - 624, 5. - С. 7797-801. - Нем.;
рез. Англ.

Место хранения ГПНТБ России Посредством р-ции SnO с
элементарным Cs получены монокристаллы Cs[4]SnO[3].
Соединение кристаллизуется в триклинической симметрии, ф.
гр. p1 с параметрами решетки a 737,61, b 1171,3 и c
1199,2 пм, 'альфа' 66,08, 'бета' 80,88, 'гамма' 82,28, Z
4. Крист. структура содержит изолированные станинат-ионы
[Sn{2+}O{3-}]^{4-} 'пси'-тетраэдрич. формы и представляет
новый тип структуры неизвестный до сих пор, однако
имеется близкая связь со структурами станинатов и
плюмбатов цезия.